

# Исследование условий для поддерживающих временных рядов в MSSA

Ткаченко Егор Андреевич, гр.19.Б04-мм

Санкт-Петербургский государственный университет  
Прикладная математика и информатика  
Вычислительная стохастика и статистические модели

Отчет по производственной практике (семестр 6)

Санкт-Петербург, 2022

Существует задача прогноза временного ряда. При построении прогноза ряда можно использовать другие ряды.  
Цель работы — выяснить, какие ряды могут улучшить прогноз.

## Временной ряд

Вещественный временной ряд длины  $N$ :

$$F = (f_1, \dots, f_N), \quad f_j \in \mathbb{R}.$$

## Многомерный временной ряд

Многомерный временной ряд  $\vec{F}$  — набор  $s$  временных рядов  $F^{(p)}$  длин  $N_p$ :

$$\vec{F} = \{F^{(p)} = (f_1^{(p)}, \dots, f_{N_p}^{(p)}), \quad p = 1, \dots, s\}.$$

## Траекторная матрица

$L$ -Траекторная матрица ряда  $F$ :

$$\mathcal{T}_{\text{SSA}}(F) = \begin{pmatrix} f_1 & f_2 & \dots & f_K \\ f_2 & f_3 & \dots & f_{K+1} \\ \vdots & \vdots & \ddots & \vdots \\ f_L & f_{L+1} & \dots & f_N \end{pmatrix}.$$

для многомерного ряда  $\vec{F}$ :

$$\mathcal{T}_{\text{MSSA}}(\vec{F}) = [\mathcal{T}_{\text{SSA}}(F^{(1)}) : \dots : \mathcal{T}_{\text{SSA}}(F^{(s)})].$$

Из траекторной матрицы можно восстановить ряд.

## $L$ -Ранг ряда

$L$ -Ранг ряда — это ранг его траекторной матрицы:

$$r_p = \text{rank}_L F = \text{rank } \mathcal{T}_{\text{SSA}}(F), \quad \text{rank}_L \vec{F} = \text{rank } \mathcal{T}_{\text{MSSA}}(\vec{F}).$$

## Ранг ряда

Ряд называется рядом конечного ранга  $r$ , если его  $L$ -ранг равен  $r$  для любой длины окна  $L$  и любой достаточно большой длины  $N$ .

# Алгоритмы SSA и MSSA для аппроксимации рядом ранга $r$

**Вход:** Ряд  $F_1$  для SSA или многомерный ряд  $F$  для MSSA;  
длина окна  $L \leq N_1$  для SSA или  $L \leq N_p$  для MSSA;  
ранг аппроксимирующего ряда  $r$ .

## Алгоритм

- 1 Вложение. Временной ряд переводится в  $L$ -траекторную матрицу  $X$
- 2 Сингулярное разложение. Методом SVD матрица  $X$  раскладывается на сумму  $d$  матриц  $X_i$  ранга 1.
- 3 Группировка. Первые  $r$  матрицы  $X_i$  суммируются.
- 4 Восстановление. Полученная сумма матриц диагональным усреднением восстанавливаются в ряд.

**Выход:** Аппроксимирующий ряд конечного ранга  $r$ .

## Линейная рекуррентная формула; управляемый ЛРФ ряд

Ряд  $F_p = (f_i)_{i=1}^{N_p}$  — управляемый ЛРФ, если существуют такие  $a_1, \dots, a_d$ , что:

$$f_{i+d} = \sum_{k=1}^d a_k f_{i+d-k}, \quad 1 \leq i \leq N_p - d, \quad a_d \neq 0, \quad d < N_p - 1.$$

## Прогноз ряда

Прогноз вещественного временного ряда  $F_p$ :

$$\tilde{f}_{N_p} = \sum_{k=1}^{L-1} a_k f_{N_p-k}.$$

Пусть имеется временной ряд  $F_1 = S_1 + R_1$ , где

- Сигнал  $S_1$  — ряд управляемый ЛРФ.
- Шум  $R_1$  — ряд без структуры.

**Задача:** спрогнозировать сигнал  $S_1$ .

Пусть помимо ряда  $F_1$  имеется временной ряд  $F_2$ .

**Идея:** использование ряда  $F_2$  может улучшить прогноз сигнала  $S_1$ .

- Второй ряд дает алгоритму больше данных, которые могут улучшить ЛРФ.
- Второй ряд может сделать прогноз хуже, если его структура отличается от первого.



## Ошибка прогноза $\tilde{S}$ сигнала $S_1$

$$\text{MSE}(\tilde{S}, S_1) = \frac{1}{N_f} \sum_{i=N+1}^{N+N_f} (\tilde{s}_i - s_i)^2$$

## Поддерживающий ряд (для прогноза)

Ряд  $F_2$  — поддерживающий, если  
 $\text{MSE}(\tilde{S}_{\text{MSSA}}, S_1) < \text{MSE}(\tilde{S}_{\text{SSA}}, S_1)$

**Вопрос:** Как понять, что ряд поддерживающий?

## Согласованность

- Сигналы  $S_1, S_2$  полностью согласованы, если  
 $r_{\text{MSSA}} = r_1 = r_2$
- Сигналы  $S_1, S_2$  полностью не согласованы, если  
 $r_{\text{MSSA}} = r_1 + r_2$

## Относительная ошибка

Относительная ошибка прогноза (восстановления)

$$error_{rel} = \frac{error_{SSA} - error_{MSSA}}{error_{SSA} + error_{MSSA}},$$

где  $error_{SSA}$ ,  $error_{MSSA}$  — ошибки прогноза (восстановления) методами SSA и MSSA соответственно.

Как интерпретировать значения относительной ошибки?

- значения больше 0 значат, что что MSSA лучше SSA;
- значения меньше 0 значат, что что MSSA хуже SSA;
- значения около 0 значат что ошибки примерно равны;
- значения далеко от 0 значат, что ошибки сильно отличаются.

## Нормирование сигналов

Все сигналы в этом и следующих экспериментах будут нормироваться, чтобы амплитуда сигнала не влияла на ошибки прогноза и восстановления. Например, для косинуса:

$s_j^{(i)} = A \cos(\frac{2\pi j}{T_i})$ , где  $A$  — такая константа, что  $\text{mean}(|s_j^{(i)}|) = 1$ .

## Структура рядов

Первый ряд — простой сигнал, зависящий от параметра с аддитивным гауссовым шумом с дисперсией  $\sigma_1^2 = 0.2^2$ . Второй ряд — сигналом того же вида, с несколько отличающимся параметром и без шума.

# Относительные ошибки для косинуса

Функция для сигналов

$$- s_j^{(i)} = A \cos\left(\frac{2\pi j}{T_i}\right).$$

Сигнал  $S^{(1)}$

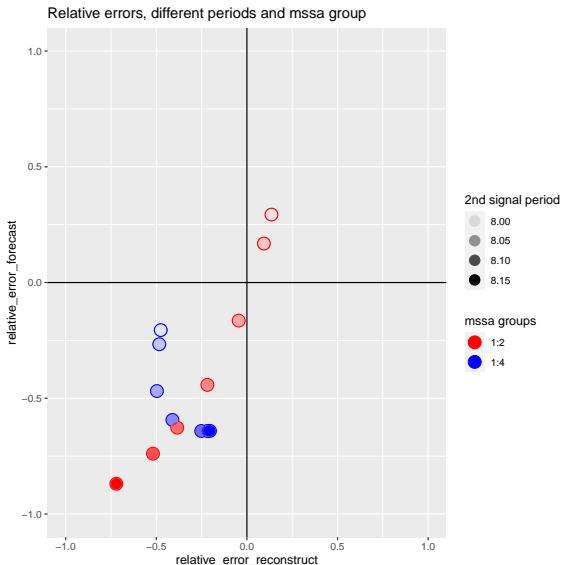
— косинус с периодом

$T_1 = 8$ . Сигналы

$S^{(2)}$  — косинусы

с периодами  $T_2 \in \{8, 8.02, 8.04, 8.06, 8.08, 8.1, 8.15\}$ . Длина

ряда  $N = 100$ , длина прогноза  $N_{for} = 20$ .



## Относительные ошибки для экспоненты

## Функция для сигналов

$$-s_j^{(i)} = A \exp(j\lambda_i).$$

## Сигнал

$S^{(1)}$  — экспонента

с  $\lambda_1 = 0.005$ . Сигналы

$S^{(2)}$  — экспонента

 $\text{c } \lambda_2 \in \{0.005,$ 

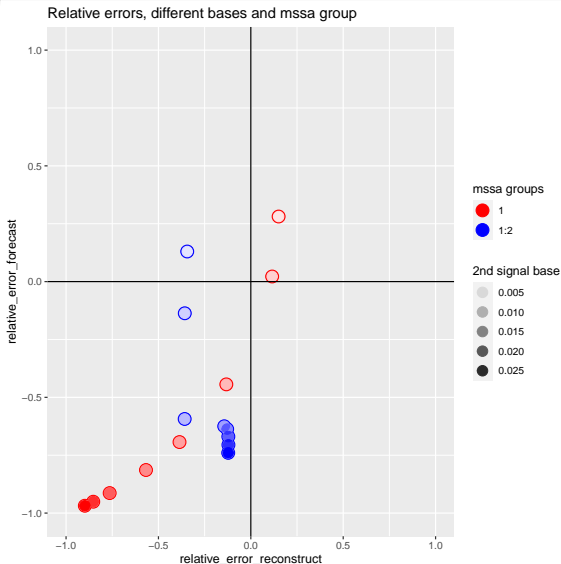
0.0075, 0.01,

0.0125, 0.015, 0.02,

$0.025, 0.03\}$ . Длина

ряда  $N = 100$ , длина

прогноза  $N_{for} = 20$ .



# Относительные ошибки для косинуса с модуляцией ( $T = \text{const}$ )

Функция

для сигналов —  $s_j^{(i)} =$

$A \exp(j\lambda_i) \cos(\frac{2\pi j}{8})$ .

Сигнал  $S^{(1)}$  —

функция с  $\lambda_1 = 0.005$ .

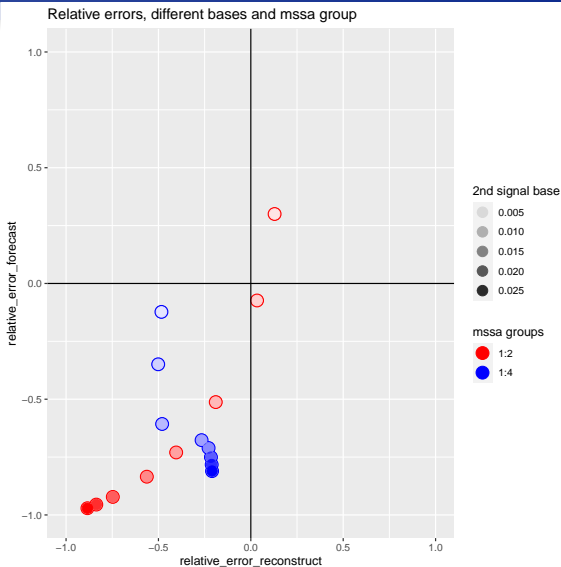
Сигналы  $S^{(2)}$  —

функция с  $\lambda_2 \in \{0.005,$   
0.0075, 0.01,

0.0125, 0.015, 0.02,

0.025, 0.03}. Длина

ряда  $N = 100$ , длина  
прогноза  $N_{for} = 20$ .

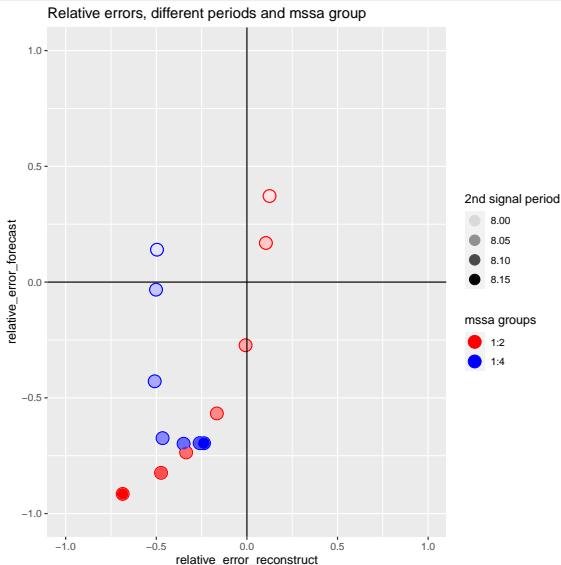


# Относительные ошибки для косинуса с модуляцией ( $\lambda = \text{const}$ )

Функция

для сигналов —  $s_j^{(i)} = A \exp(0.02j) \cos(\frac{2\pi j}{T_i})$ .

Сигнал  $S^{(1)}$  — функция с  $T_1 = 8$ . Сигналы  $S^{(2)}$  — функция с  $T_2 \in \{8, 8.02, 8.04, 8.06, 8.08, 8.1, 8.15\}$ . Длина ряда  $N = 100$ , длина прогноза  $N_{for} = 20$ .



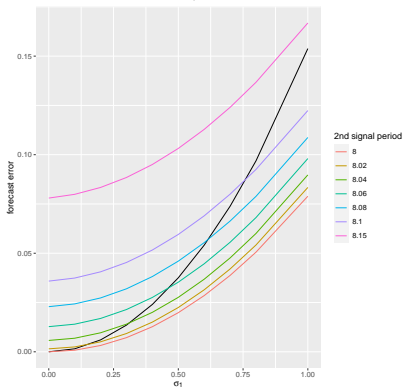
Для всех видов сигналов при отклонении второго сигнала от первого всегда наступал момент, когда использование удвоенного ранга дает меньшие ошибки прогноза и восстановления.



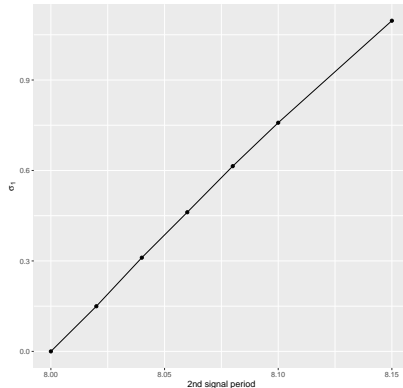
# Ошибки прогноза для разных шумов первого ряда и параметров второго ряда

Гипотеза: при увеличении шума первого ряда, MSSA станет лучше для любого отклонения второго ряда. Если это так, то можно найти зависимость граничного значения  $\sigma_1$  (при котором SSA становится хуже MSSA) от изменения параметра второго сигнала.

Forecast MSSA vs SSA, different periods and  $\sigma_1$

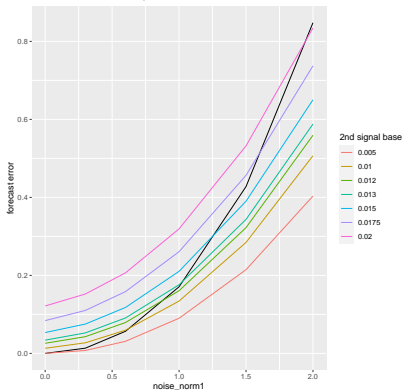


Dependence of the boundary noise norm and the 2nd signal period

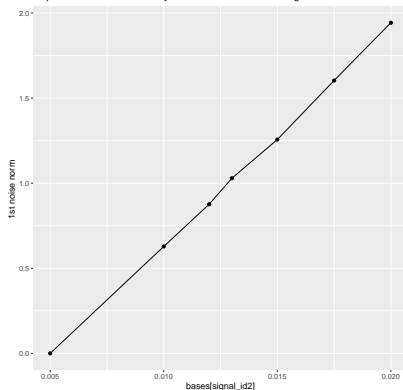


Модель сигнала —  $s_j^{(i)} = A \cos(\frac{2\pi j}{T_i})$ . Параметры для сигналов:  
 $T_1 = 8$ ,  $T_2 \in \{8, 8.02, 8.04, 8.06, 8.08, 8.1, 8.15\}$ ,  
 $\sigma_1 \in \{0, 0.1, 0.2, 0.3, 0.4, 0.5, 0.6, 0.7, 0.8, 1\}$ .

Forecast MSSA vs SSA, different bases and 1st noise



Dependence of the boundary noise norm and the 2nd signal base



Модель сигнала —  $s_j^{(i)} = A \exp(j\lambda_i)$ . Параметры для сигналов:  
 $\lambda_1 = 0.005$ ,  $\lambda_2 \in \{0.005, 0.01, 0.012, 0.013, 0.015, 0.0175, 0.02\}$ ,  
 $\sigma_1 \in \{0, 0.3, 0.6, 1, 1.5, 2\}$

Гипотеза подтверждена, зависимость граничных значений  $\sigma_1$  от отклонения второго сигнала линейная.

# Третий эксперимент: линейные сигналы

Длина

сигналов  $N = 150$

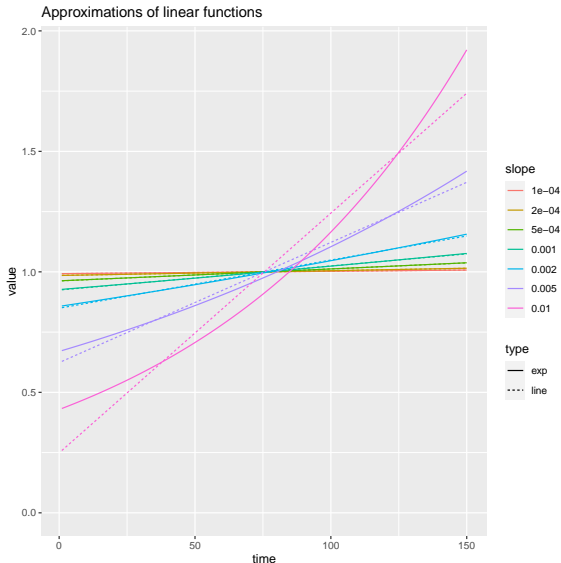
Функции для сигналов:

линейная —  $s_j^{(i)} =$   
 $slope_{ij} + (1 - slope_{ij}) \frac{N}{2}$ ,

экспоненциальная

аппроксимация —

$s_j^{(i)} = A \exp(slope_{ij} j)$ .



# Сравнение линейного ряда и его аппроксимации как поддерживающих рядов

Длина известного ряда  $N = 100$ . длина прогноза  $N_{for} = 20$ .

Функции для сигналов:

линейная —  $s_j^{(i)} = slope_i j + (1 - slope_i \frac{N}{2})$ ,

экспоненциальная аппроксимация —  $A \exp(slope_i j)$ .

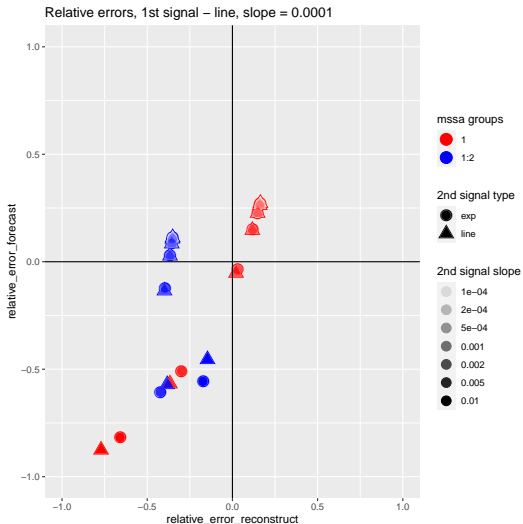
Сигнал  $S^{(1)}$  — линейный с наклоном  $slope_1 \in \{0.0001, 0.01\}$ .

Сигналы  $S^{(2)}$  — линейные экспоненциальные с наклонами  $slope_2 \in \{0.0001, 0.0002, 0.0005, 0.001, 0.002, 0.005, 0.01\}$ .

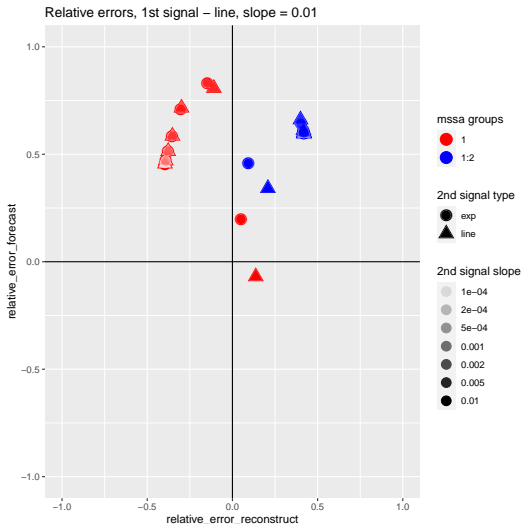
Шум первого ряда — аддитивный гауссовский с  $\sigma_1 = 0.2$ .

Второй ряд без шума.

# Сравнение линейного ряда и его аппроксимации как поддерживающих рядов



# Сравнение линейного ряда и его аппроксимации как поддерживающих рядов





Так как первая компонента разложения линейного ряда оказалась не экспонентой, это значит, что сигналы не полностью согласованы.

Для линейных функций с большим наклоном алгоритм MSSA дает результат лучше чем SSA, а маленьким наклоном наоборот.

Найдено много интересных зависимостей.  
Экспоненциальную аппроксимацию линейного ряда можно использовать в качестве поддерживающего ряда для линейных рядов с большим наклоном.



Golyandina N, Korobeynikov A, Zhigljavsky A. Singular Spectrum Analysis with R. — Springer, 2018. — P. 272.



Федоров Н. Поддерживающие временные ряды в анализе сингулярного спектра. — 2020. — выпускная квалификационная работа магистра, СПбГУ, СПб.